

LANCÉ

Servicio Clima Espacial

Reporte Semanal

<http://www.sciesmex.unam.mx>



ISES
International Space
Environment Service

AEM
AGENCIA ESPACIAL MEXICANA



CENAPRED
CENTRO NACIONAL DE
PREVENCIÓN DE DESASTRES

CONDICIONES DEL SOL

Regiones activas: 0

Hoyos coronales: 6, de los cuales, 2 tienen una extensión considerable y se localizan en los polos. Los demás son de menor extensión y están dispersos.

Eyecciones de masa coronal: 1 eyección cerca del limbo solar oeste.

El Sol no ha mostrado actividad significativa.

CONDICIONES DEL MEDIO INTERPLANETARIO

Esta semana se registró una región de compresión acompañada de una eyección de masa coronal.

CONDICIONES DE MAGNETÓSFERA

Índice K local: Se observaron disturbios geomagnéticos durante los días 13 y 14, provocados por el arribo de una corriente de viento solar con polaridad Bz sur.

Índice Dst: Se registró actividad geomagnética moderada entre los días 13 y 14 de julio.

CONDICIONES DE LA IONOSFERA

Se observó un aumento del TEC el 14 de julio, sin embargo no fue significativo.

PRONÓSTICOS

Viento solar:

- Se pronostica la llegada de corrientes de viento solar promedio con velocidad entre 400 y 500 km/s.

Fulguraciones solares:

- Es poco probable que se presenten fulguraciones clase C o mayores para los siguientes días.

Tormentas ionosféricas:

- Es poco probable que se presenten afectaciones ionosféricas en los próximos días.

Tormentas geomagnéticas:

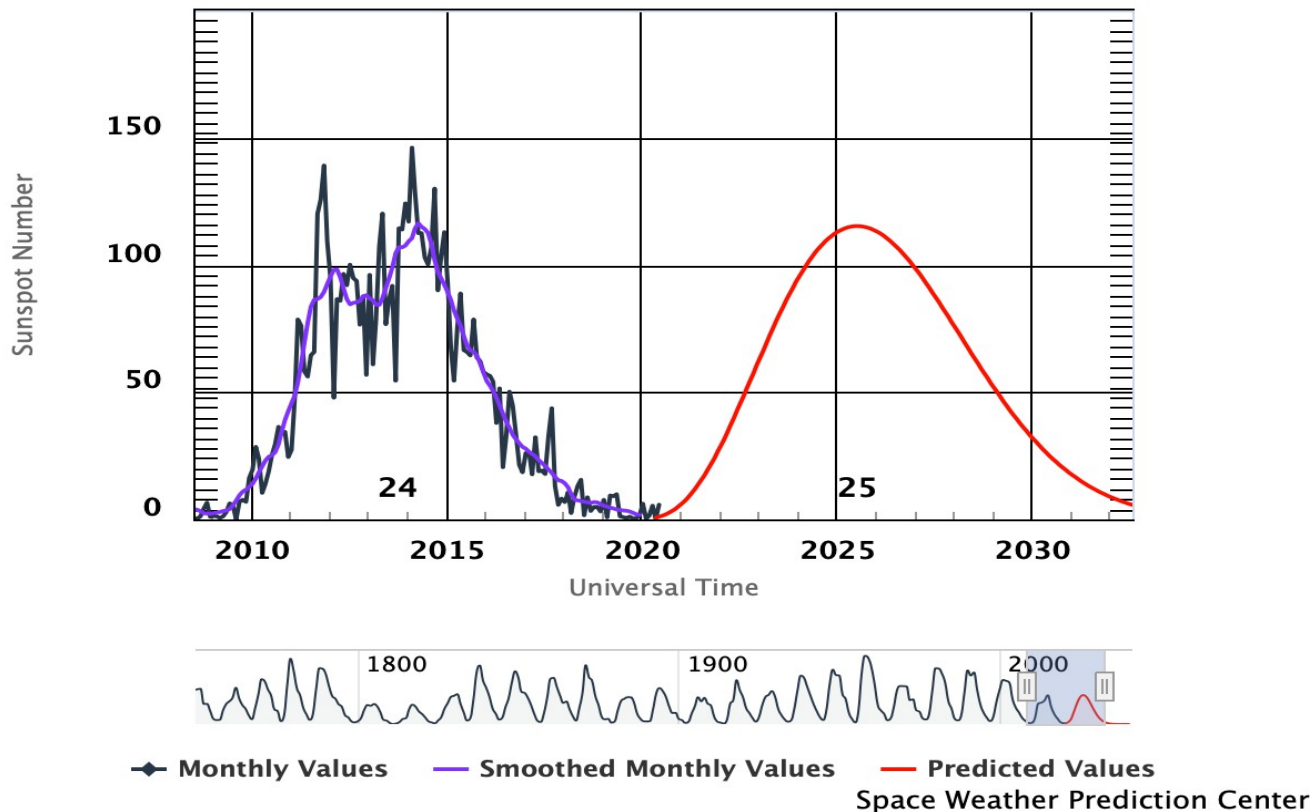
- Es poco probable que se presenten tormentas menores en los próximos días.

Tormentas de radiación solar:

- Debido a la poca actividad, no se esperan tormentas en la próxima semana.

Ciclo de manchas solares y la actividad solar

ISES Solar Cycle Sunspot Number Progression



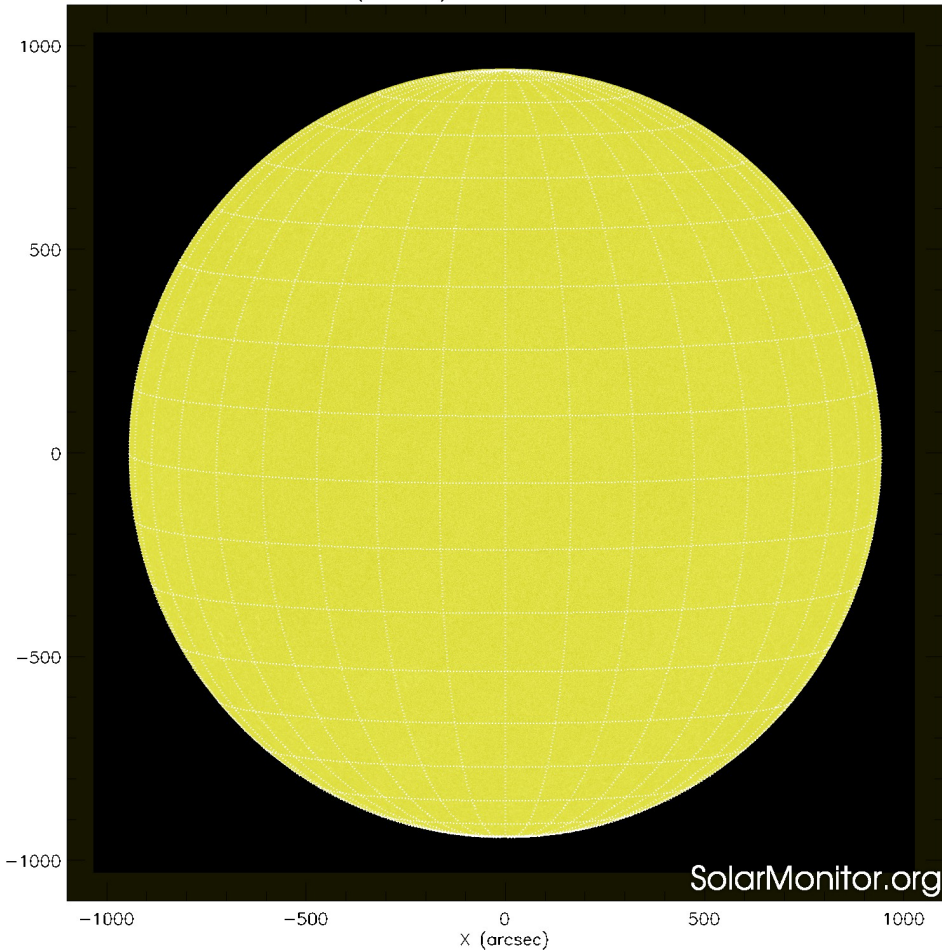
La figura muestra el conteo del número de manchas solares desde enero del 2008.

Entre más manchas solares presente el Sol, es mayor la posibilidad de que ocurra una tormenta solar.

Estamos en el mínimo de manchas solares del ciclo 24.

<http://www.swpc.noaa.gov/products/solar-cycle-progression>

SDO HMI (6173 Å) 16-Jul-2020 10:10:46.300

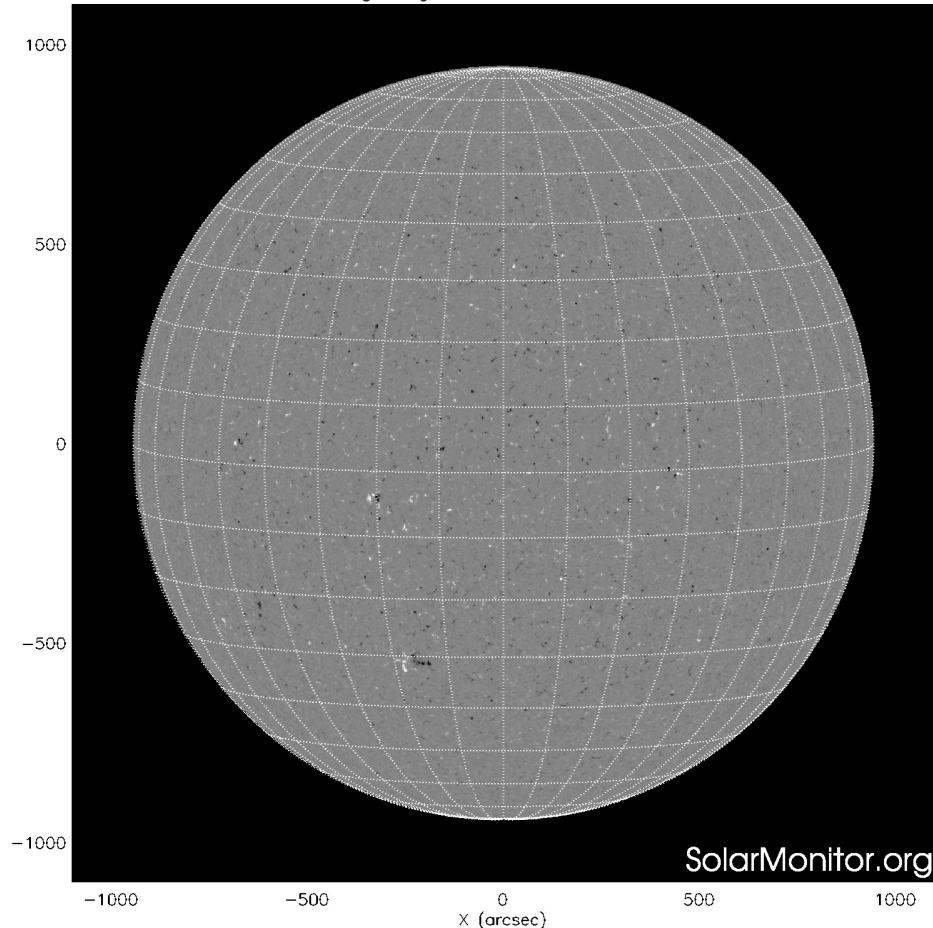


La fotosfera es la zona “superficial” del Sol, donde aparecen las manchas solares. Regiones oscuras formadas por material más frío que sus alrededores y que contienen intensos campos magnéticos. Las manchas solares están relacionadas con la actividad solar.

La imagen reciente de la fotosfera se observa sin manchas solares visibles.

<http://solarmonitor.org>

SDO HMI Magnetogram 16-Jul-2020 09:58:46.300



Un magnetograma solar permite identificar las regiones de intensos campos magnéticos solares. En general, estos campos magnéticos están asociados a manchas solares.

Las regiones de color blanco (negro) son zonas por donde salen (entran) líneas de campo magnético, correspondientes a polaridad positiva (negativa).

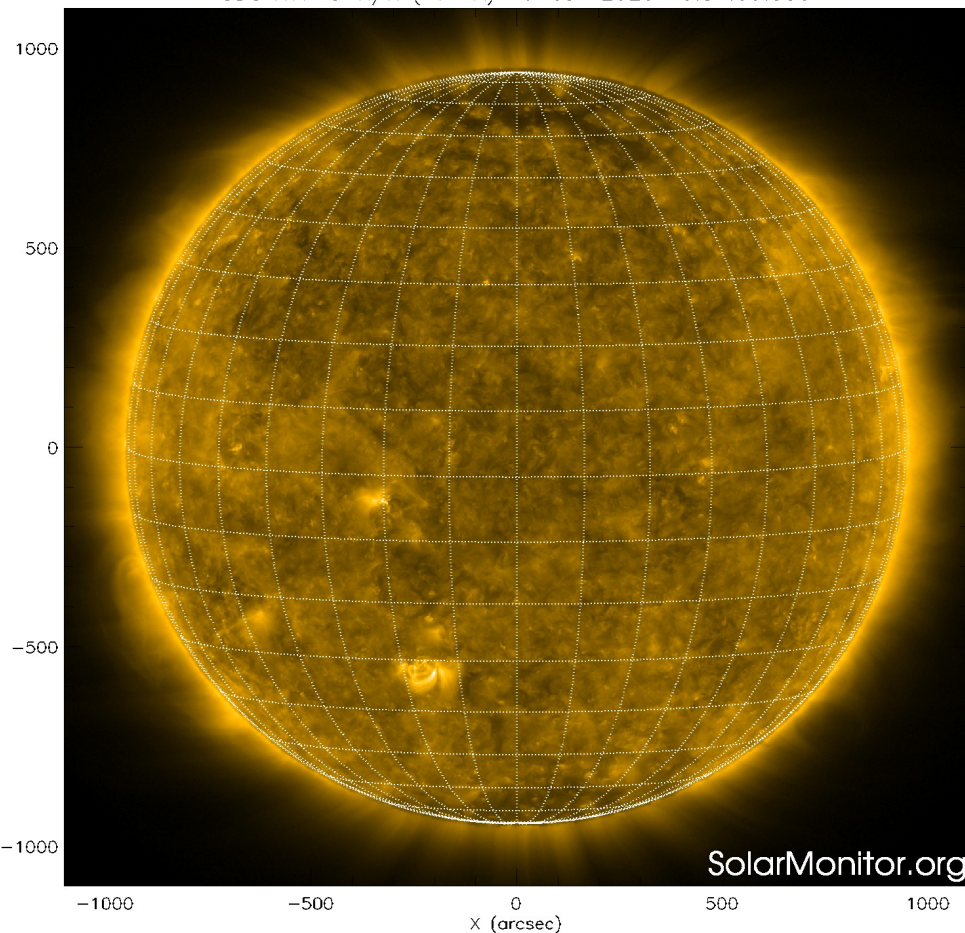
El Sol hoy:

El magnetograma no muestra regiones dipolares con campo magnético estructurado.

<http://solarmonitor.org>

Atmósfera solar y regiones activas

SDO AIA Fe IX/X (171 Å) 16-Jul-2020 10:54:09.350



El Sol en rayos X suaves (171 Å). La emisión de Fe IX y X revela la estructura magnética en la región de la atmósfera solar llamada corona solar que se encuentra a 630,000 K.

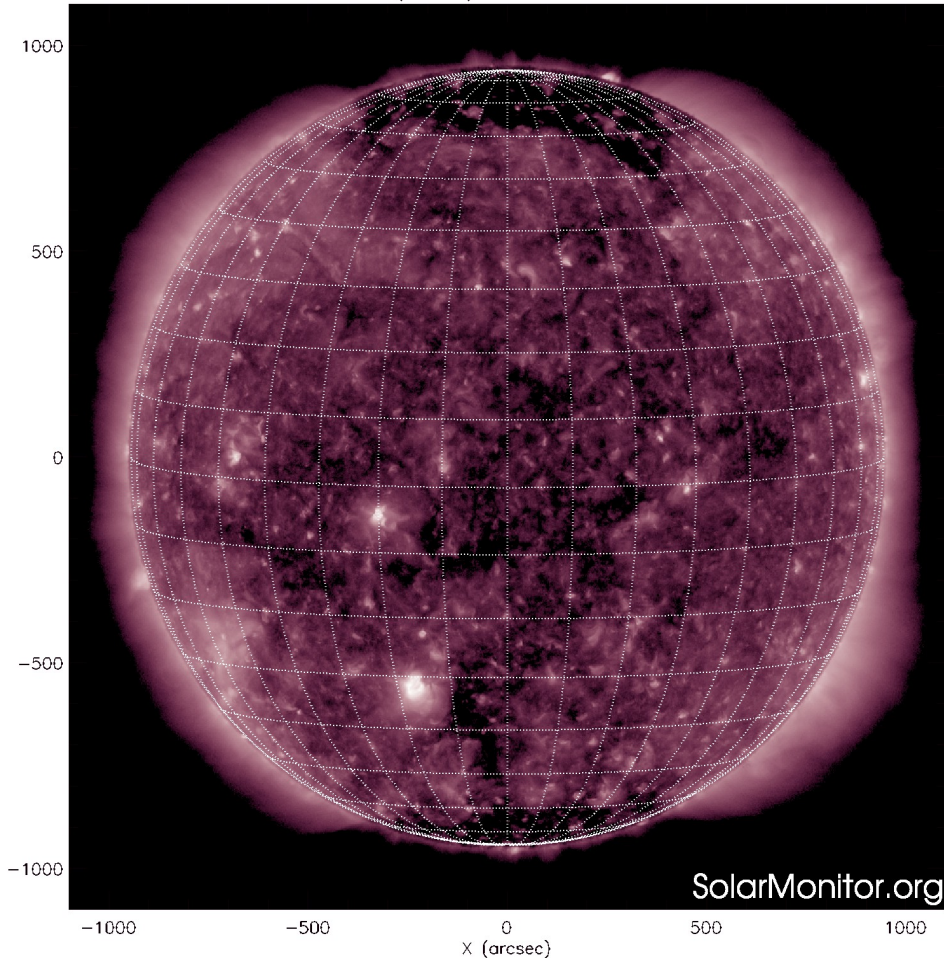
Las regiones activas (zonas claras) son los lugares donde se presentan los fenómenos de actividad solar más importantes. Las regiones activas están regularmente asociadas a las manchas solares.

El Sol hoy:

No se observan regiones activas en el disco solar.

<http://solarmonitor.org>

SDO AIA Fe XII (211 Å) 16-Jul-2020 10:57:57.630



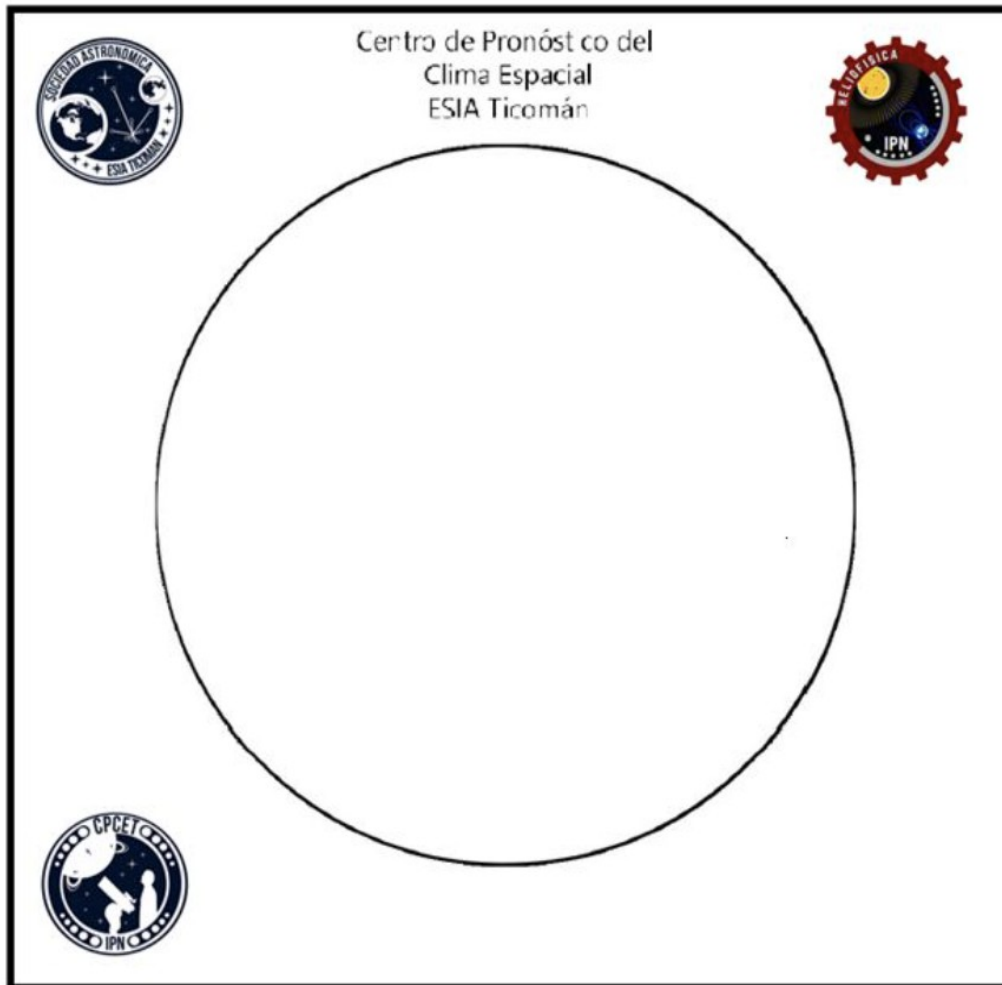
El Sol en rayos X suaves (211 Å). La emisión de Fe XIV revela la estructura magnética en la alta corona que se encuentra a 2,000,000 K.

Los hoyos coronales (regiones oscuras) son regiones de campo magnético solar localmente abierto. Los hoyos coronales son fuente de las corrientes de viento solar rápido.

El Sol:

Se observan múltiples hoyos coronales, de los cuales dos son de mayor extensión y se localizan en los polos. Los demás están dispersos sobre el disco solar.

<http://solarmonitor.org>



El número de Wolf es un valor que permite evaluar numéricamente la actividad solar mediante el conteo de manchas solares ubicadas sobre la superficie del Sol. Este se calcula a partir de la fórmula desarrollada por Rudolf Wolf en 1849:

$$W=k(10*G+F)$$

Donde:

K= Es un factor de corrección que depende de cada observatorio.

F= Cantidad total de manchas solares visibles sobre el disco solar.

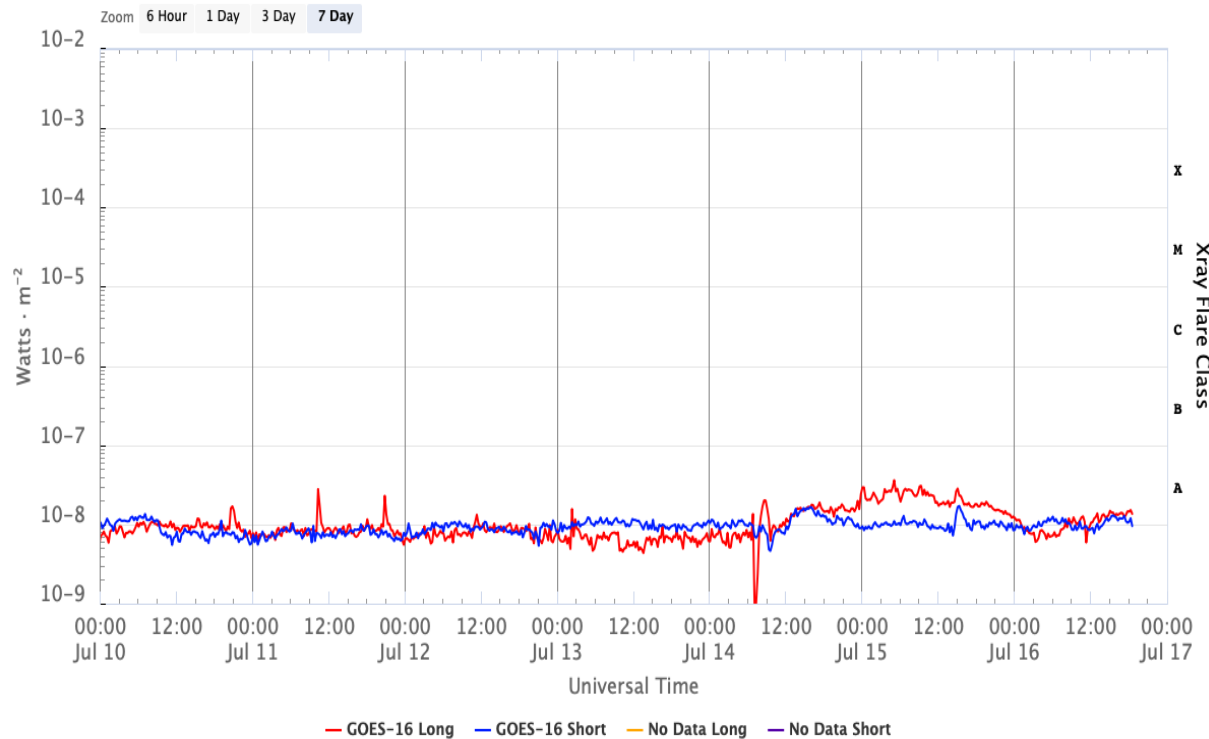
G= Cantidad de grupos manchas solares visibles sobre el disco solar.

Número de Wolf máximo esta semana: **11**

Actividad solar: **BAJA**

Actividad solar: Fulguraciones solares

GOES X-Ray Flux (1-minute data)



Updated 2020-07-16 18:39 UTC

Space Weather Prediction Center

Flujo de rayos X solares detectado por los satélites GOES.

No se detectaron fulguraciones solares mayores a tipo A en la semana.

<https://www.swpc.noaa.gov/products/goes-x-ray-flux>

Eyecciones de Masa Coronal (EMCs): *observación de coronógrafos*

>> **Julio 16, 4:24 h**

- EMC observada por SOHO/LASCO C2 y C3 cerca del limbo solar este.
- Su región fuente no se encuentra en la línea Sol-Tierra.
- No se esperan repercusiones geomagnéticas.

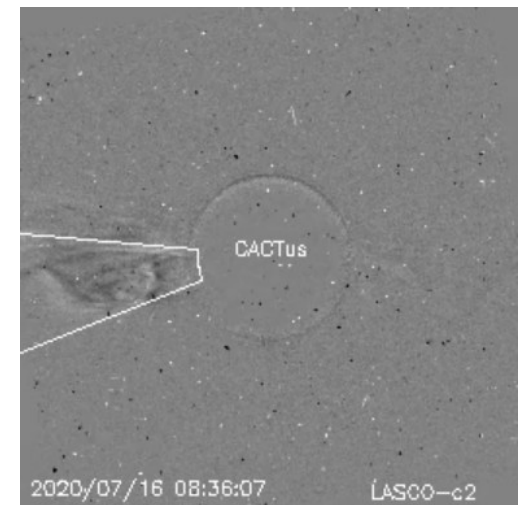
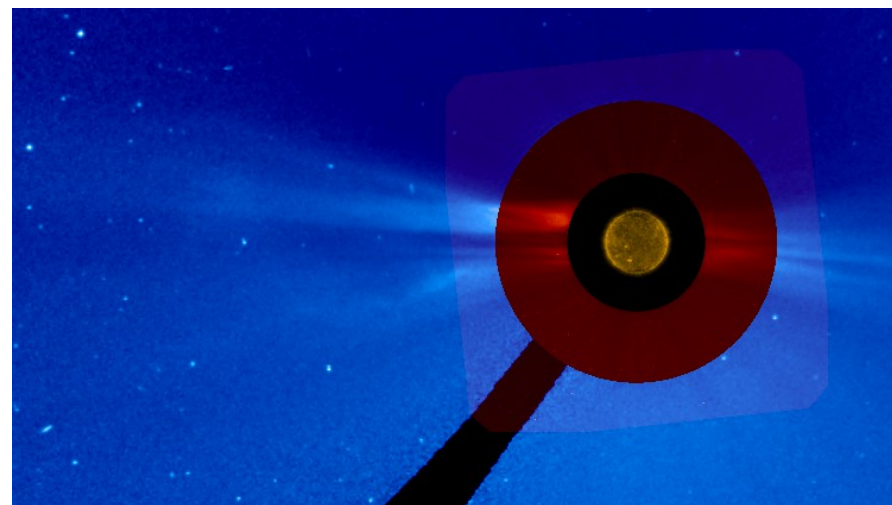
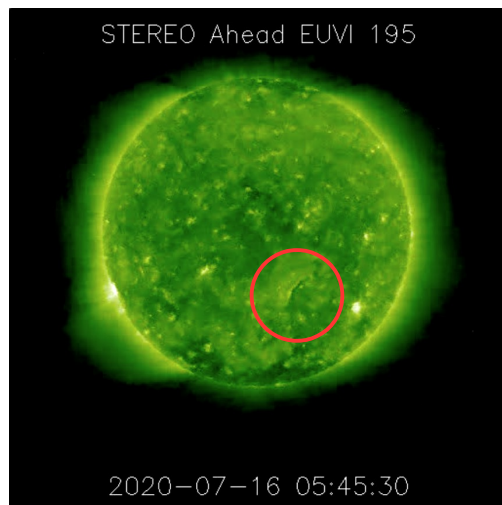
Velocidad	413 km/s
Posición angular	98°
Ancho angular	26°

(*)Valores estimados sobre la proyección en el plano del cielo y no en la dirección Sol-Tierra

Región fuente al frente de STEREO-A

AIA 171- LASCO C2 – LASCO C3

LASCO C2
Diferencia de imágenes



Crédito imágenes y valores estimados:

SOHO, the Solar & Heliospheric Observatory

SDO, Solar Dynamic Observatory

CACTus CME catalog. SIDC at the Royal Observatory of Belgium

Jhelioviewer, ESA/NASA Helioviewer Project

Medio interplanetario: El viento solar cercano a la Tierra

Modelo numérico WSA-ENLIL.

El modelo pronostica un ambiente solar terrestre dominado por corrientes de viento solar promedio con velocidades de 400 a 500 km/s. La densidad no presentará incrementos significativos. No pronostica la llegada de alguna EMC para los próximos días.

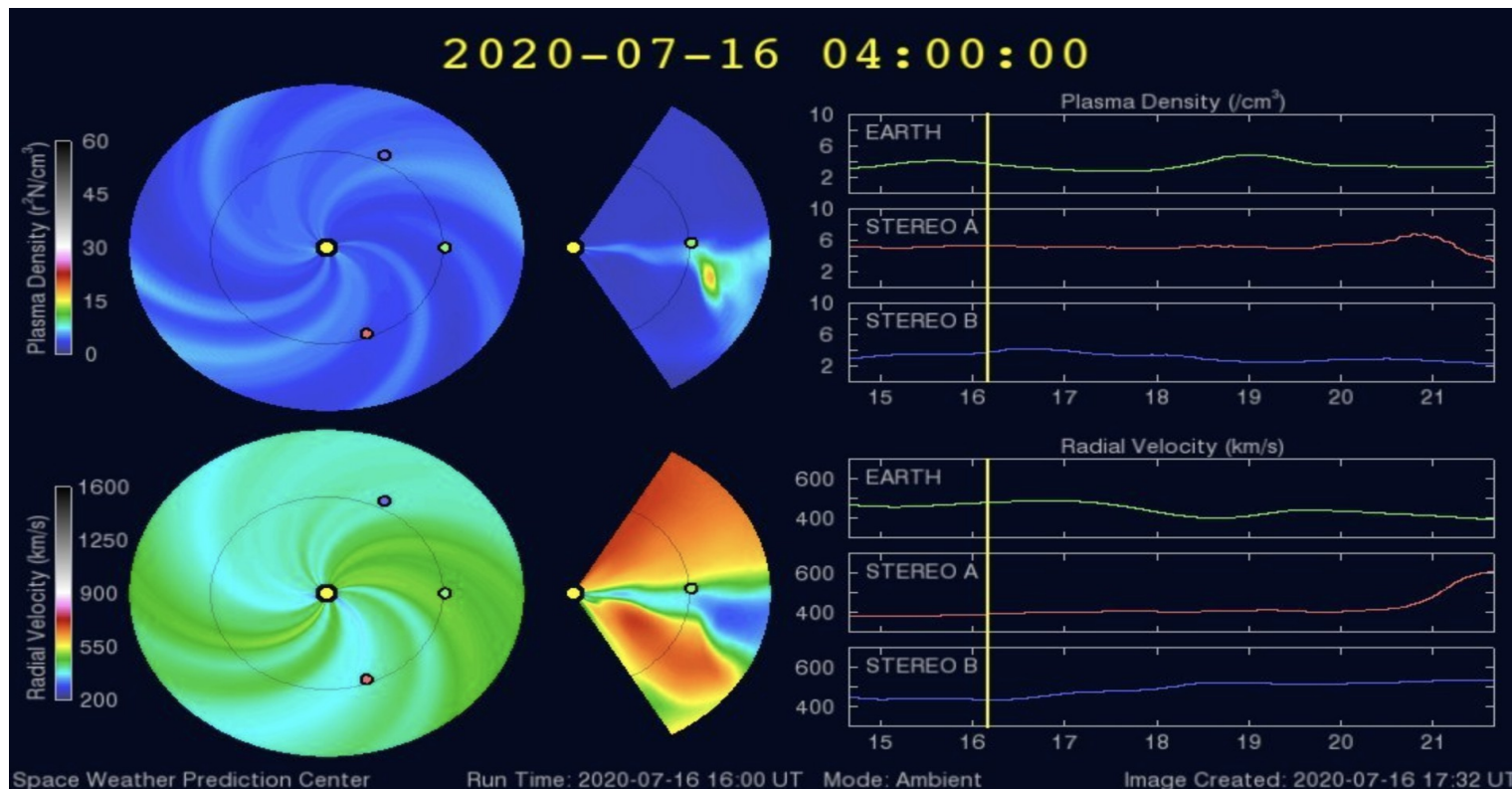
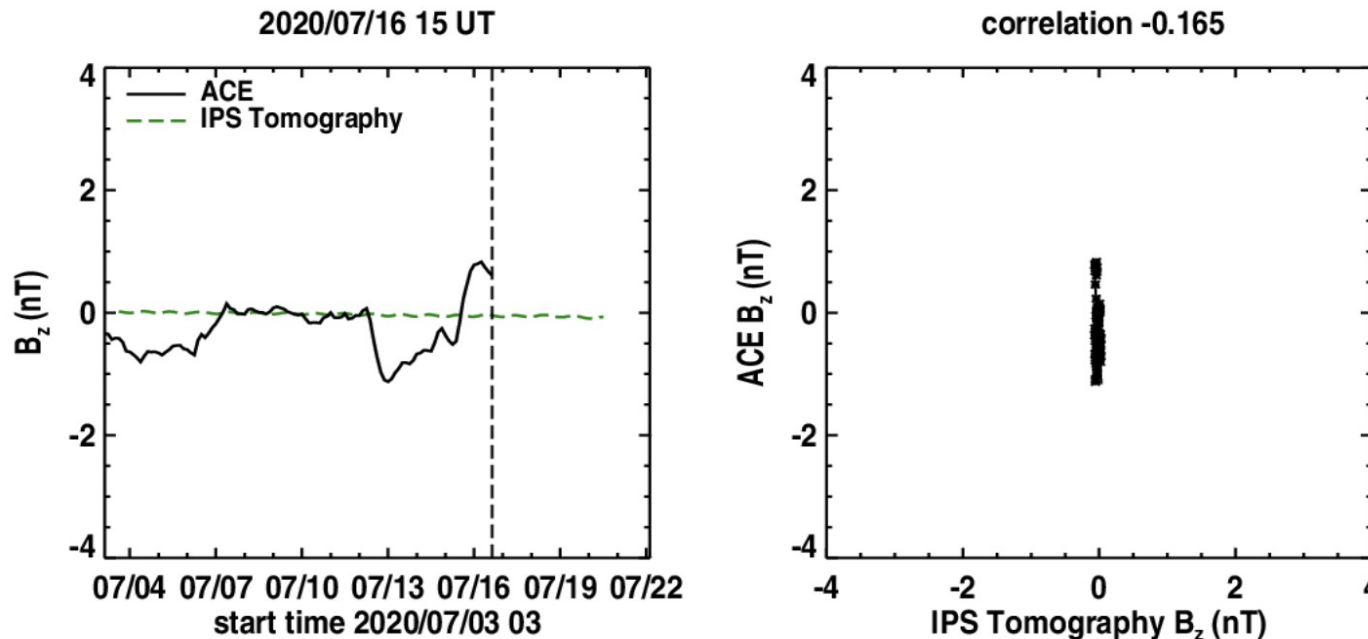


Imagen: <http://www.swpc.noaa.gov/products/wsa-enlil-solar-wind-prediction>

Medio interplanetario: El viento solar cercano a la Tierra

Pronóstico de la componente B_z del viento solar cercano a la Tierra usando la tomografía con datos IPS.



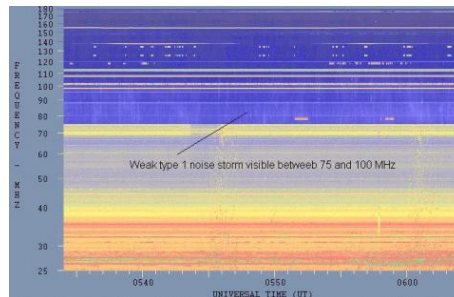
(Izquierda) Se pronostica una componente B_z negativa tendiendo a cero. **(Derecha)** La comparación con las observaciones del Advanced Composition Explorer (ACE) no indican una correlación en el último pronóstico.

Imagen: http://ips.ucsd.edu/high_resolution_predictions

Tipos de estallidos de radio solares

Tipo I: Estallidos cortos y banda de emisión estrecha. Ocurren en un gran número sobre un continuo de emisión. Duración de 1 s y en tormenta de horas a días.

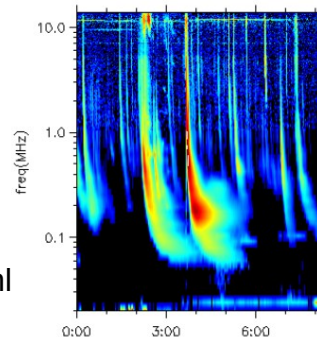
Se asocian con regiones activas, fulguraciones y protuberancias eruptivas



spaceacademy.net.au/env/sol/solradp/solradp.htm

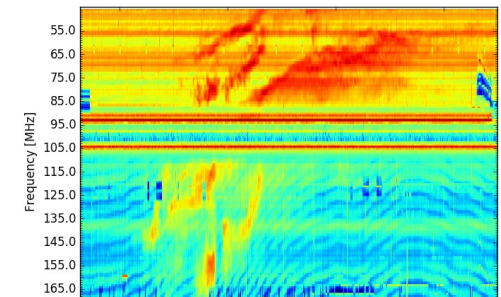
Tipo III: Estallidos de deriva rápida, con duración de pocos segundos en el rango métrico. Tienen anchos de emisión amplios. Son producidos en fulguraciones donde son expulsados a velocidades relativistas.

Se pueden presentar también como tormentas de estallidos.



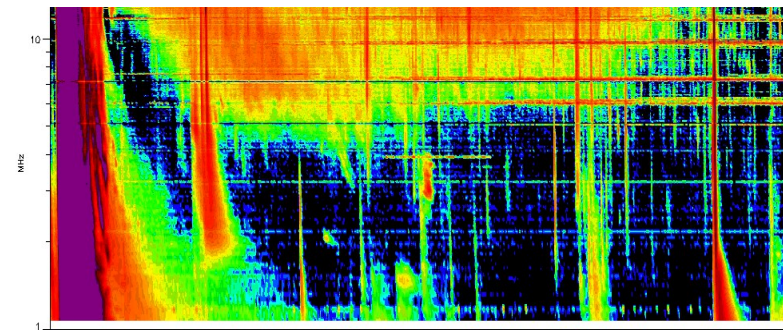
ssed.gsfc.nasa.gov/waves/data_products.html

Tipo II: Estallidos de deriva lenta. Son la firma de ondas de choque, producidas por fulguraciones o EMCs, que se propagan cerca del Sol y medio interplanetario. Presentan anchos de de emisión estrechos que derivan a frecuencias menores.



www.rice.unam.mx/callisto

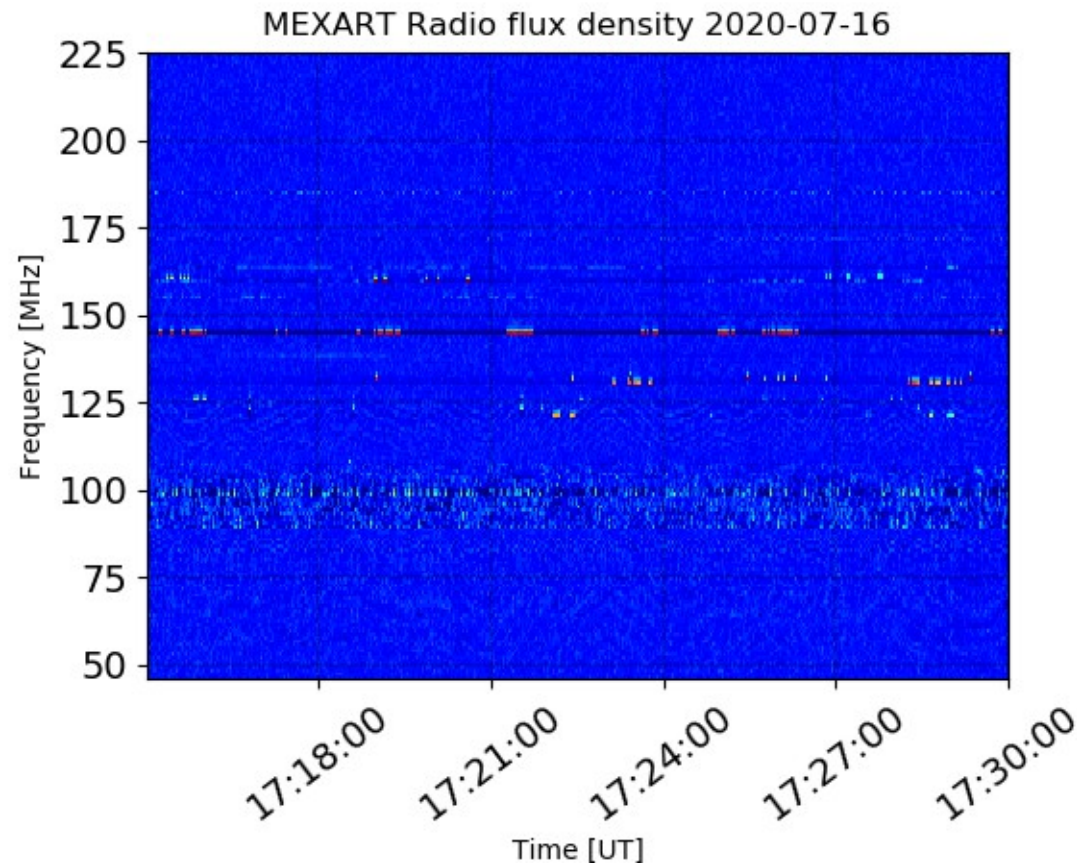
Tipo IV: Se relacionan con fulguraciones, tienen anchos de banda amplios y pueden durar horas.



https://ssed.gsfc.nasa.gov/waves/data_products.html

Estallidos de radio solares: Observaciones de Callisto-MEXART

Callisto-MEXART no detectó eventos esta semana.



<http://www.rice.unam.mx/callisto/lightcurve/2020/04>

Medio interplanetario: Región de interacción de viento solar

Esta semana se registró una región de compresión acompañada de una eyección de masa coronal (área sombreada en gris y amarillo, respectivamente en imagen 2). El origen del viento solar rápido es un hoyo coronal localizado en latitudes bajas (CH1 en imagen 1). Dicho evento complejo generó actividad geomagnética en los índices: $Dst = -65 \text{ nT}$ y $Dst\text{-mex} > -55 \text{ nT}$.

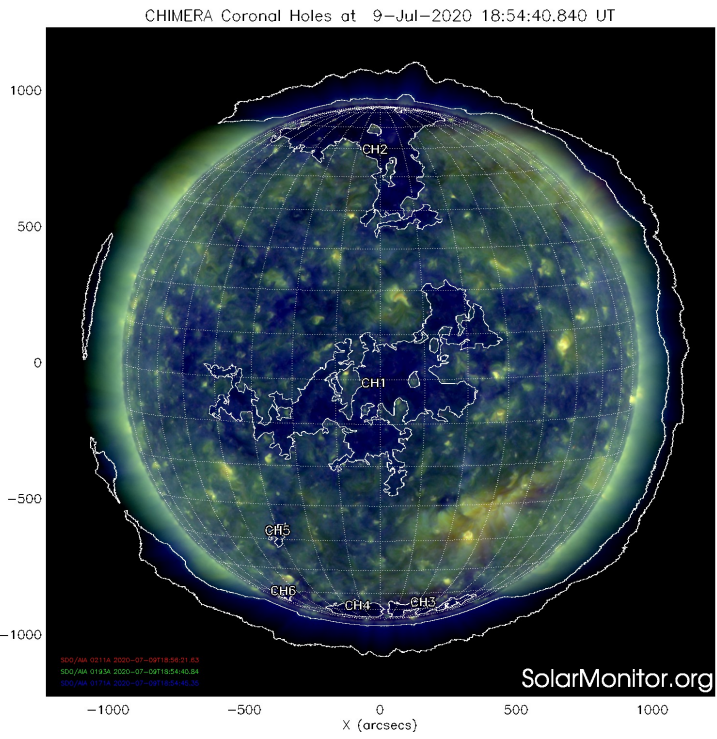


Imagen 1: <https://solarmonitor.org/chimera.php>

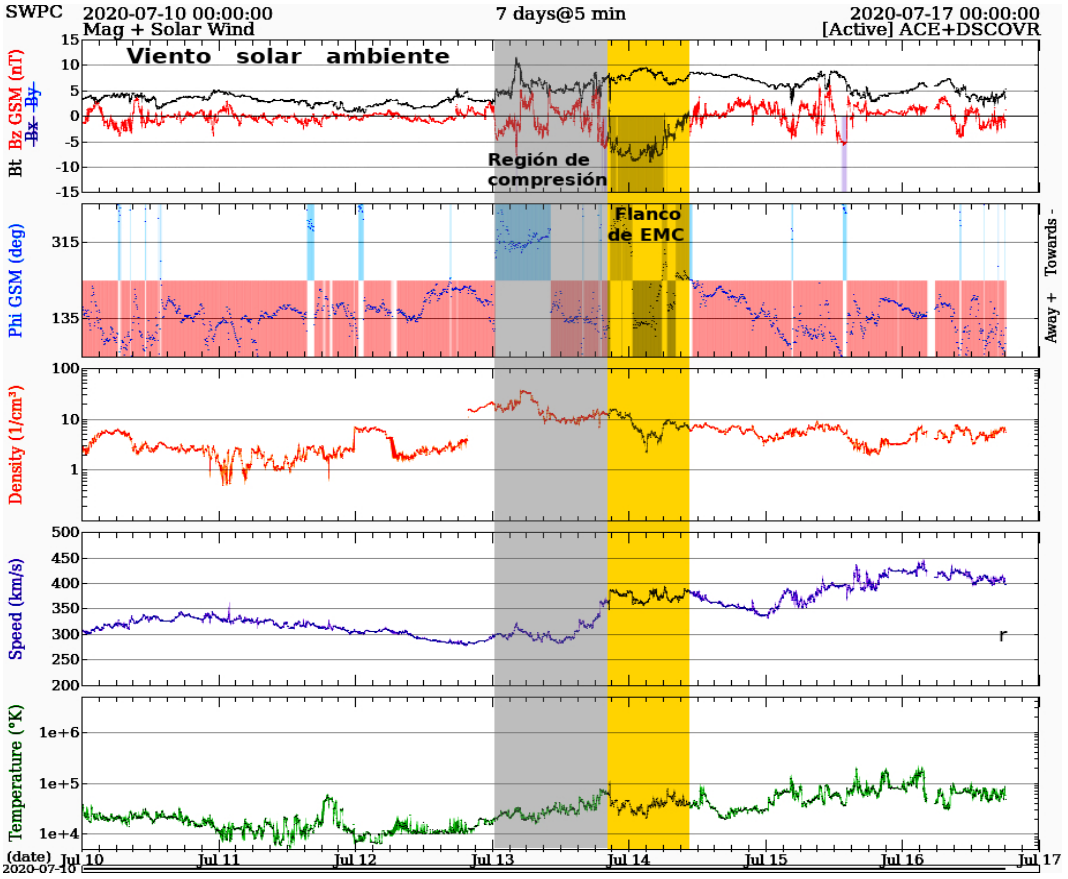
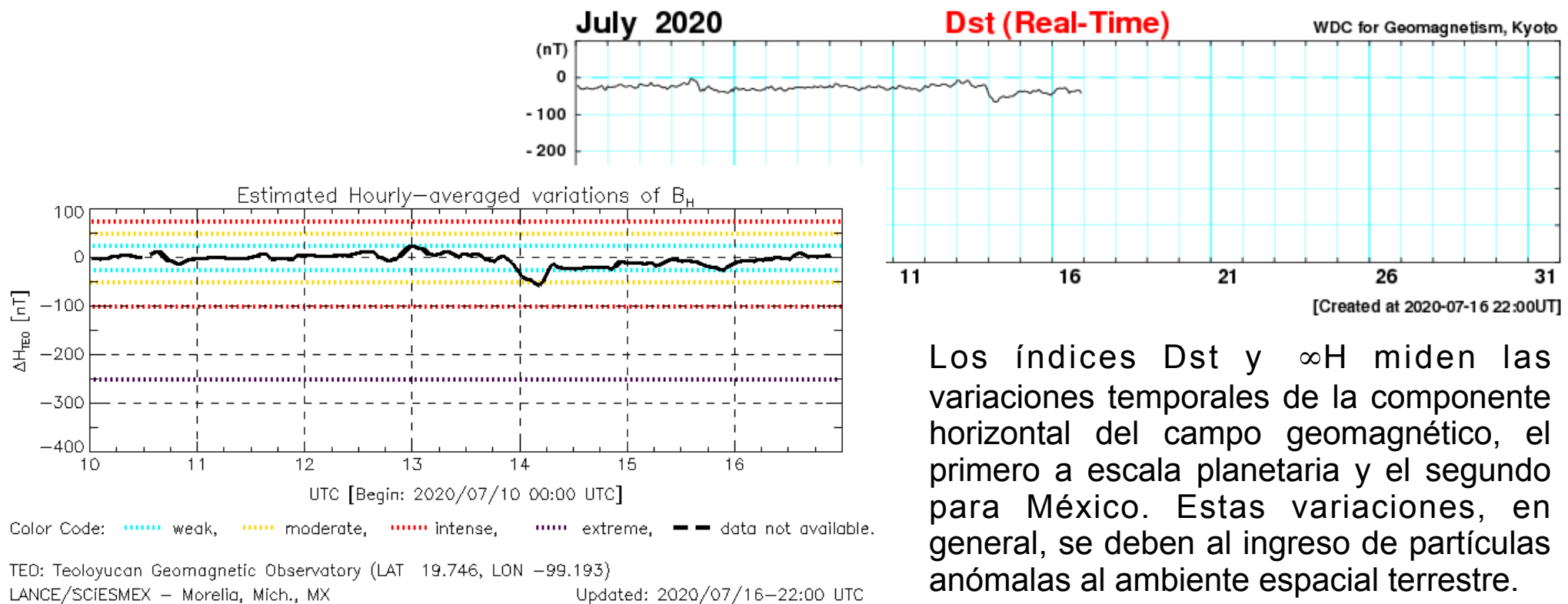


Imagen 3: <http://www.swpc.noaa.gov/products/real-time-solar-wind>

Perturbaciones geomagnéticas: Índice Dst y ∞H

Se registró actividad geomagnética moderada entre los días 13 y 14 de julio en los índices Dst y ∞H . Estas se debieron a la llegada de una corriente de viento solar con campo magnético Bz sur.

Imagen: http://wdc.kugi.kyoto-u.ac.jp/dst_realtime/presentmonth/index.html



Los índices Dst y ∞H miden las variaciones temporales de la componente horizontal del campo geomagnético, el primero a escala planetaria y el segundo para México. Estas variaciones, en general, se deben al ingreso de partículas anómalas al ambiente espacial terrestre.

Ionósfera sobre México: TEC en el centro del país (datos locales)

El contenido total de electrones (TEC) es un parámetro que sirve para caracterizar el estado de la ionosfera de la Tierra.

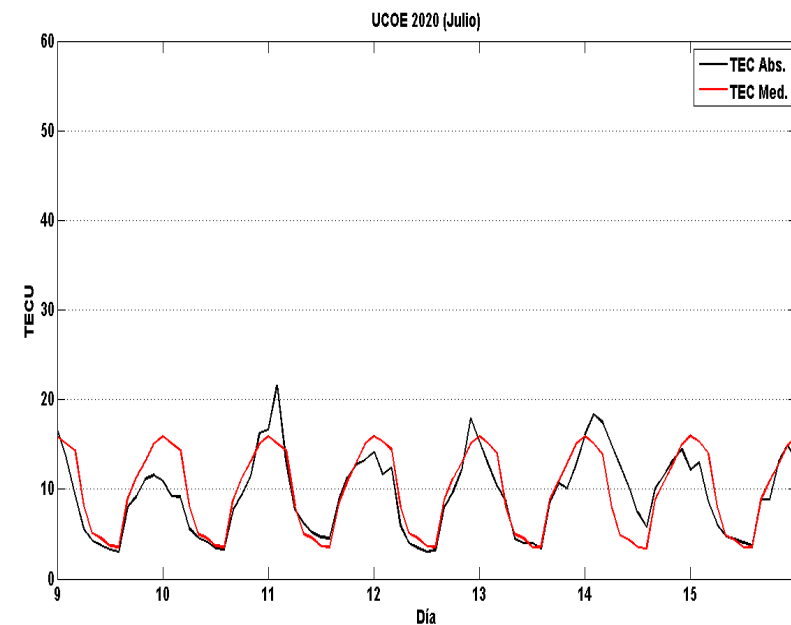
Serie temporal de los valores de TEC (negro) con referencia a su valor mediano (rojo) durante 09.07-16.07.2020 con base en los datos de la estación local UCOE (TLALOCNet, UNAVCO) en las instalaciones del Mexart.

Desviación de TEC de su mediana de los 27 días anteriores al día de observación con base en los datos de la misma estación.

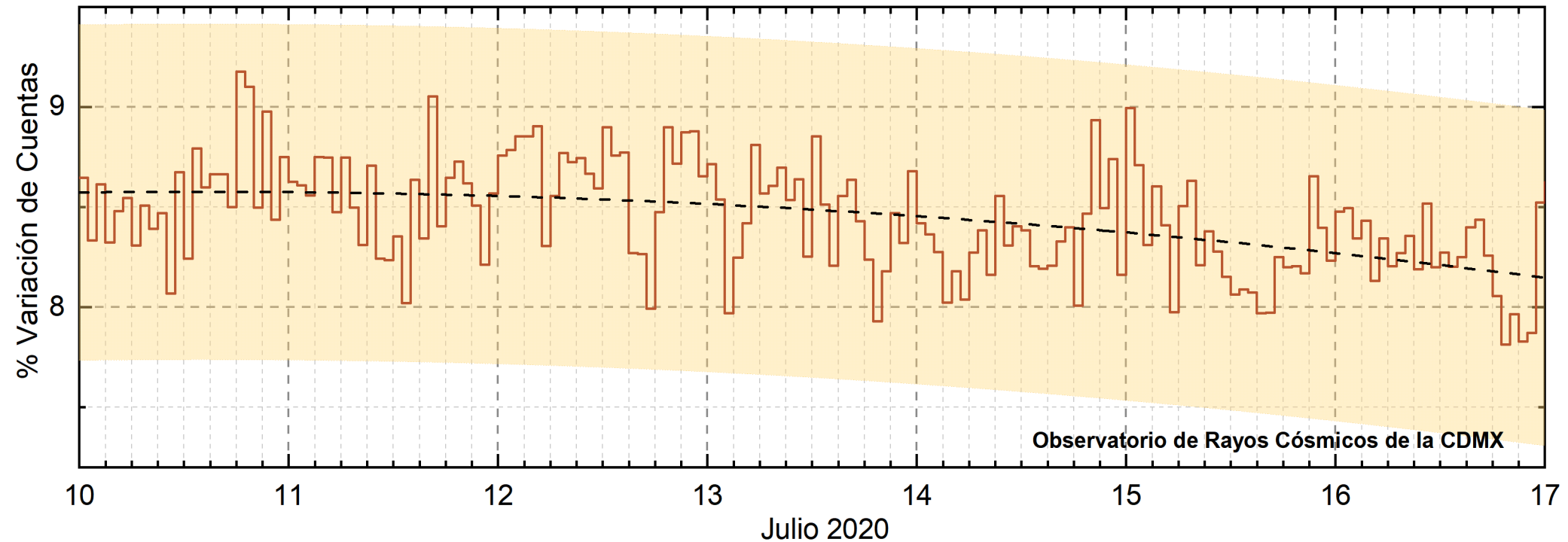
Se observó un aumento del TEC el 14 de julio.
Estas variaciones no son significativas.

El cálculo se realiza en base de TayAbsTEC software del Instituto de Física Solar-Terrestre, Sección Siberiana de la Academia de Ciencias de Rusia. Referencia: Yasyukevich et al., Influence of GPS/GLONASS Differential Code Biases on the Determination Accuracy of the Absolute Total Electron Content in the Ionosphere, Geomagn. and Aeron., ISSN 0016_7932, 2015.

Referencia: Gulyaeva et al., GIM-TEC adaptive ionospheric weather assessment and forecast system. doi:10.1016/j.jastp.2013.06.011, 2013.



Rayos C3smicos:



<http://www.cosmicrays.unam.mx/>

Datos registrados por el Observatorio de Rayos C3smicos de la Ciudad de M3xico. La curva discontinua negra representa el promedio de los datos registrados, el 3rea coloreada en amarillo representa la significaci3n de los datos ($\pm 3\sigma$). Cuando se registran variaciones que salen del 3rea, es probable que 3stas sean atribuidas a efectos de emisiones solares en el flujo de rayos c3smicos.

Del 10 al 16 de julio de 2020, no se detectaron incrementos significativos ($>3\sigma$) en las cuentas de rayos c3smicos.

UNAM/LANCE/SCIeSMEX

Dr. J. Américo González Esparza
Dr. Pedro Corona Romero
Dra. Maria Sergeeva
Dr. Julio C. Mejía Ambriz
Dr. Luis Xavier González Méndez
Dr. José Juan González-Avilés
Ing. Ernesto Andrade Mascote
M.C. Pablo Villanueva Hernández
Ing. Adán Espinosa Jiménez
Ing. Juan Luis Godoy
Dr. Ernesto Aguilar-Rodríguez
Dra. Verónica Ontiveros
Dra. Tania Oyuki Chang Martínez
Ing. Juan José D'Aquino

UNAM ENES-Morelia

Dr. Mario Rodríguez Martínez
Dr. Víctor De la Luz Rodríguez
Lic. Shaden Saray Hernández Anaya
M.C. Raúl Gutiérrez Zalapa
Rafael Zavala Molina
Vanessa Arriaga Contreras

UNAM/PCT

Lic. Elizandro Huipe Domratheva
M.C. Víctor Hugo Méndez Bedolla
M.C. Elsa Sánchez García

UANL/LANCE

Dr. Eduardo Pérez Tijerina
Dr. Enrique Pérez León
Dr. Carlos de Meneses Junior
Dra. Esmeralda Romero Hernández

UNAM/IGF/RAYOS CÓSMICOS

Dr. José Francisco Valdés Galicia
Fis. Alejandro Hurtado Pizano
Ing. Octavio Musalem Clemente

SERVICIO MAGNÉTICO

M.C. Esteban Hernández Quintero
Dr. Gerardo Cifuentes Nava
Dra. Ana Caccavari Garza

Elaboración: José Juan González-Avilés

Revisión: Ernesto Aguilar-Rodríguez

ing. Julio C. Villagrán Orihuela

Miguel Daniel González Arias

Carlos Escamilla León

Jessica Juárez Velarde

Pablo Romero Minchaca

Eric Bañuelos Gordillo

Alfonso Iván Verduzco Torres

Alain Mirón Velázquez

Christian Armando Ayala López

Katia Lisset Ibarra Sánchez

Angerl Alfonso Valdovinos Córdoba

Agradecimientos

El Laboratorio Nacional de Clima Espacial (LANCE) es parcialmente financiado por: el programa Cátedras CONACYT Proyecto 1045 y el Fondo Sectorial AEM-CONACYT proyecto 2014-01-247722. Agradecemos al proyecto Conacyt - Repositorio Institucional de Clima Espacial 268273. Agradecemos a todos los responsables y colaboradores de instrumentos del LANCE y a las redes de estaciones GPS del Servicio Sismológico Nacional y TalocNET por facilitar sus datos. Agradecemos a Gerardo Cifuentes, Esteban Hernández y Ana Caccavari por los datos del Observatorio magnético de Teoloyucan. De igual forma, agradecemos los servicios de IGS (International GNSS Service) por permitirnos usar los datos IONEX disponibles en: <ftp://cddis.gsfc.nasa.gov/pub/gps/products/ionex>. Los valores de TEC fueron obtenidos a partir de observaciones de las redes GPS del Servicio Sismológico Nacional (SSN), SSN-TLALOCNet y TLALOCNet del Servicio de Geodesia Satelital (SGS). Agradecemos al personal del SSN y del SGS por el mantenimiento de estaciones, la adquisición de datos y el soporte de IT de estas redes. Las operaciones de la red TLALOCNet y SSN-TLALOCNet GPS han sido apoyadas por The National Science Foundation bajo el proyecto EAR-1338091 a UNAVCO Inc., los proyectos CONACyT 253760 y 256012 y los proyectos UNAM-PAPIIT IN109315-3 y IN104818-3 de E. Cabral-Cano y el proyecto UNAM-PAPIIT IN111509 de R. Pérez. De igual forma agradecemos a los proyectos de infraestructura del CONACyT: 253691 y del PAPIIT-DGAPA: IA107116 para el fortalecimiento de equipos como la estación fija de GPS, que forman parte del LACIGE-UNAM, de la ENES unidad Morelia a cargo de M. Rodríguez-Martínez. El cálculo de TEC se realiza: 1) utilizando el software US-TEC que es un producto de operación del Space Weather Prediction Center (SWPC), desarrollado a través de una colaboración entre National Geodetic Survey, National Oceanic and Atmospheric Administration (NOAA) y el Cooperative Institute for Research in Environmental Sciences of the University of Boulder, Colorado, 2) con base en el software TayAbsTEC del Instituto de Física Solar-Terrestre, Sección Siberiana de la Academia de Ciencias Rusa. Parte del procesamiento de datos se lleva a cabo dentro del Centro de Supercómputo de Clima Espacial (CESCOM) del LANCE. Así mismo agradecemos al Space Weather Forecasting Center for Astrophysics & Space Research de la University of California in San Diego y al Korean Space Weather Center por los datos de pronóstico para los modelos WSA-ENLIL y los mapas tomográficos por IPS. Agradecemos a la red e-callisto por los datos proporcionados de espectros electromagnéticos dinámicos de la red internacional de registro de evento de radio solares.

Datos

Imágenes de coronógrafo, flujo de rayos X y modelo WSA-ENLIL:

<http://www.swpc.noaa.gov/products>

<http://iswa.ccmc.gsfc.nasa.gov/IswaSystemWebApp/>

Imágenes de coronógrafo:

<http://sohowww.nascom.nasa.gov/data/>

Imágenes del disco solar y de la fulguración:

<http://www.solarmonitor.org/>

Detección y caracterización de EMCs:

<http://www.sidc.oma.be/cactus/out/latestCMEs.html>

<http://spaceweather.gmu.edu/seeds/>

ISES:

<http://www.spaceweather.org/>

International Network of Solar Radio Spectrometers (e-callisto):

<http://www.e-callisto.org/>

German Research Center For Geosciences Postdam:

<http://www.gfz-potsdam.de/en/sektion/erdmagnetfeld/daten-dienste/kp-index/>

Data Analysis Center for Geomagnetism and Space Magnetism, Kyoto University:

<http://wdc.kugi.kyoto-u.ac.jp/index.html>

UNAVCO:

<http://www.unavco.org>

SSN:

<http://www.sismologico.unam.mx/>

SOHO Spacecraft NASA:

<http://sohowww.nascom.nasa.gov/>

SDO Spacecraft NASA:

<http://sdo.gsfc.nasa.gov/>

Space Weather Prediction Center NOAA:

<http://www.swpc.noaa.gov>

GOES Spacecraft NOAA:

<http://www.ngdc.noaa.gov/stp/satellite/goes/index.html>

ACE Spacecraft NOAA

<http://www.srl.caltech.edu/ACE/ASC/index.html>